

# 切削原理与控制

## 第九章 已加工表面质量

---

王大中

上海工程技术大学

## 第一节 已加工表面质量的概念

**已加工表面质量**也称为表面完整性，它对机器零件的使用性能和机器的可靠性有重大影响。包括两方面内容——

### 表面几何学

零件外层表面的几何形状，用表面粗糙度表示。

如塑性变形、硬度变化、微观裂纹、残余应力、晶粒变化、热损伤区及化学性能等。

### 表面层材质的变化

在一定深度的表面层内出现变质层，晶粒组织严重畸变，金属的力学、物理、化学性质均发生变化。

### 已加工表面质量评定标志

- 1 表面粗糙度。
- 2 表面层的加工硬化程度及硬化层深度。
- 3 表面残余应力的性质、大小。

## 第二节 已加工表面的形成过程

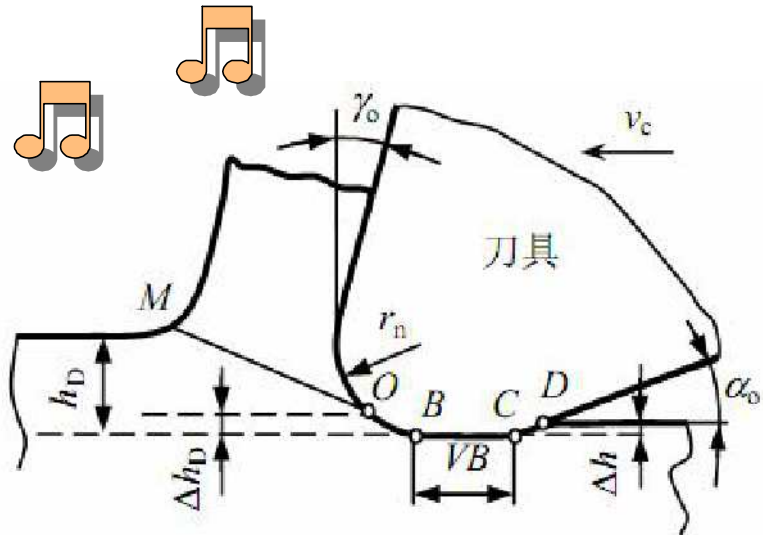
### 一 已加工表面形成过程

考虑因素

刀具的刀刃都具有一个半径 $r_\beta$ 的钝圆。

刀具磨损，形成一段 $\alpha_{oe}=0^\circ$ 的棱面，后刀面磨损棱面VB。

1. 沿剪切面OM方向滑移成为切屑。
2. 切削层厚度 $h_D$ 。
3. 留下了一薄层 $\Delta h_D$ 。
4. O点之上变成了屑沿前刀面流出。
5. O点之下在刃口钝圆挤压下产生弹性塑性变形，留在已加工表面上。
6. 切削刃钝圆部分OB、磨损棱面BC和后刀面CD三部分共同构成后刀面上的接触长度，这部分对已加工表面的质量有很大影响。



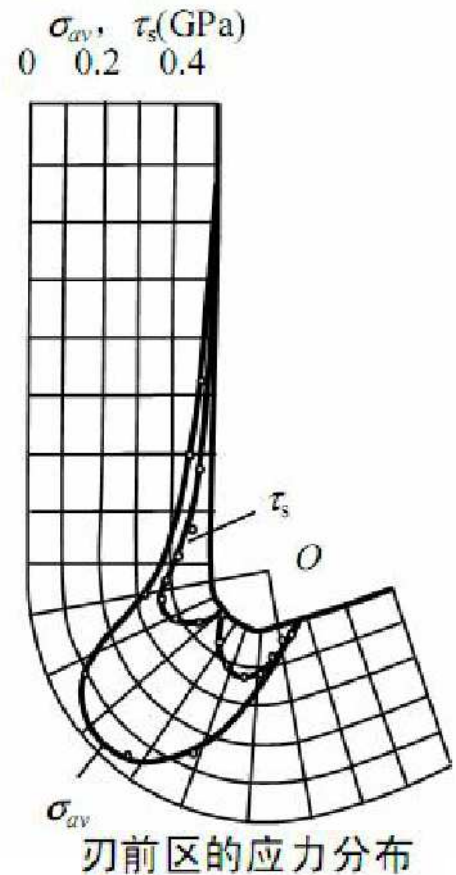
已加工表面的形成过程

## 第二节 已加工表面的形成过程

### 二 刃前区的应力分布

用光弹法测定的刃前区应力分布图

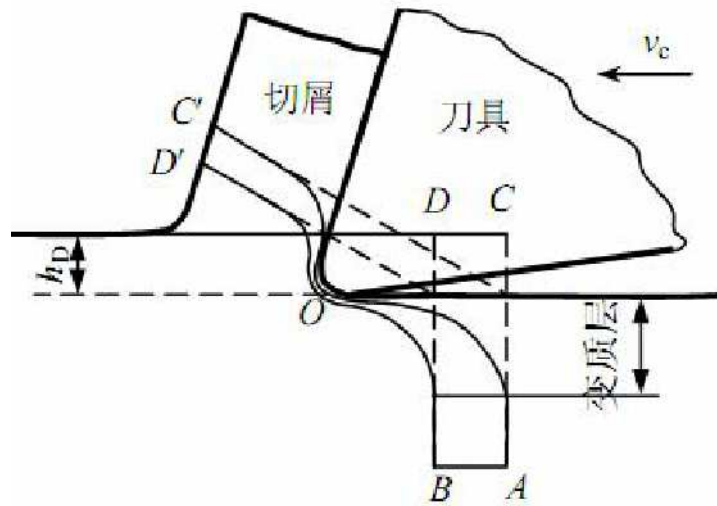
1. 正应力  $\sigma_{av}$  在O点处最大，在O点两侧急剧减小。
2. 剪应力  $\tau_s$  在O点处为零，在O点两侧逐渐增加，并且方向相反，从而使切削层金属在O点处分离。
3. O点的位置与刃口钝圆半径  $r_\beta$  有关，当  $r_\beta$  增大时，O点上移，相应的  $\Delta h_D$  也增大。



## 第二节 已加工表面的形成过程

### 三个变形区综合考虑

1. 切削层金属进入第一变形区时，晶粒因压缩而变长，因剪切滑移而倾斜，晶粒拉伸的更长，成为包围在切削刃周围的纤维层，最后在O点断裂。
2. 上面部分变成切屑流出，下面部分绕过切削刃沿后刀面流出，并继续经受变形而成为已加工表面的表层。
3. 已加工表面表层的金属纤维被拉伸的更长更细，其纤维方向平行于已加工表面，这层具有和基体金属组织不同性质的表层金属被称为加工变质层。



刃前区的应力分布

# 第三节 已加工表面粗糙度

## 一 表面粗糙度产生的原因

几何因素所产生的粗糙度：残留面积的高度

1 残留面积：一小部分金属未被切下来，残留在已加工表面上。  
影 响：残留面积高度直接影响已加工表面的横向粗糙度。

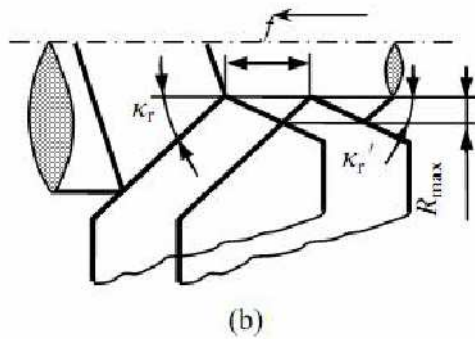
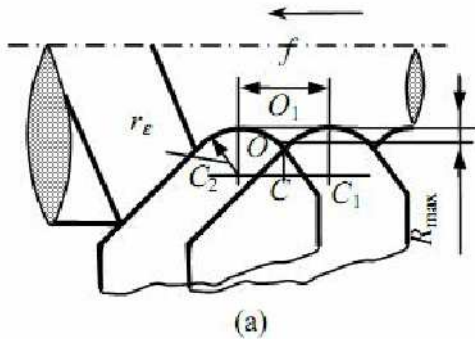
1) 刀尖圆弧半径  $r_\epsilon = 0^\circ$       2) 刀尖圆弧半径  $r_\epsilon \neq 0^\circ$

$$R_{\max} = \frac{f}{\cot \kappa_r + \cot \kappa_r'}$$

主偏角  $\kappa_r$ 、负偏角  $\kappa_r'$   
 $v_f$

$$R_{\max} = r_\epsilon - \sqrt{r_\epsilon^2 - \left(\frac{f}{2}\right)^2}$$

由于  $R_{\max} \ll r_\epsilon$  所以  $R_{\max}^2$  可以忽略不计



$$R_{\max} \approx \frac{f^2}{8r_\epsilon}$$

$R_{\max}$   
残留面积高度

# 第三节 已加工表面粗糙度

## 一 表面粗糙度产生的原因

### 不稳定因素所产生的粗糙度

1 积屑瘤：靠近切削刃及刀尖的前刀面上产生积屑瘤，积屑瘤硬度很高，可代替切削刃进行切削。

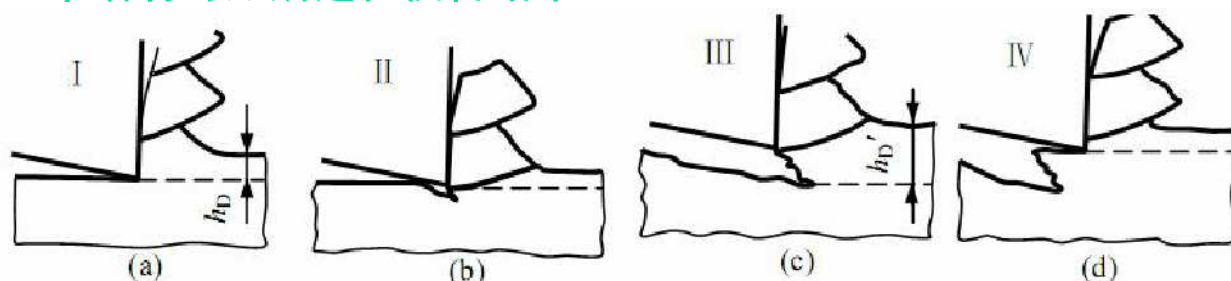
- |  |
|--|
| <ul style="list-style-type: none"><li>1) 积屑瘤引起过切，导致各处的过切量不一致。</li><li>2) 一部分破碎的积屑瘤碎片嵌入已加工表面形成鳞片状毛刺。</li><li>3) 减少积屑瘤，可以有效的降低表面粗糙度。</li></ul> |
|--|

2 鳞刺：已加工表面上出现的鳞片状毛刺。  
发生于中低速、大进给量、较小前角切削塑性、韧性较大的金属时。

## 第三节 已加工表面粗糙度

### 鳞刺的形成过程

- (1) 抹拭阶段 I。前一鳞刺已经形成，新鳞刺还未出现。
- (2) 导裂阶段 II。切屑代替前刀面挤压切削层，切削刃的前下方，切屑与已加工表面之间出现一个裂口，即导裂。第 II 阶段历时远比第 I 阶段短。
- (3) 层积阶段 III。切屑逐层积聚参加挤压切削层的工作，随着层积过程的发展，切削厚度将逐渐增大。
- (4) 切顶阶段 IV。当层积金属达到一定厚度后，切屑又重新开始沿前刀面流出，同时切削刃切出鳞刺的顶部。一个鳞刺的形成过程便告结束



鳞刺形成的四个阶段

# 第三节 已加工表面粗糙度

## 切削过程中的变形

### 3 切削过程中的变形

#### (1) 挤裂切屑

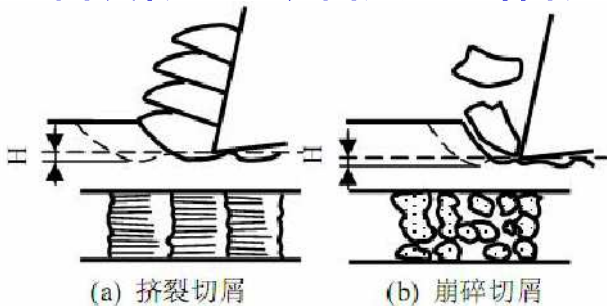
挤裂或单元切屑的形成过程中，切屑单元带有周期性的断裂，这种断裂要深入到切削表面以下，从而在加工表面上留下挤裂的痕迹而形成波浪形。

#### (2) 崩碎切屑

崩碎切屑的形成过程中，从主切削刃处开始的裂纹在接近主应力方向斜着向下延伸形成过切，造成已加工表面的凸凹不平。

#### (3) 刀刃两端隆起

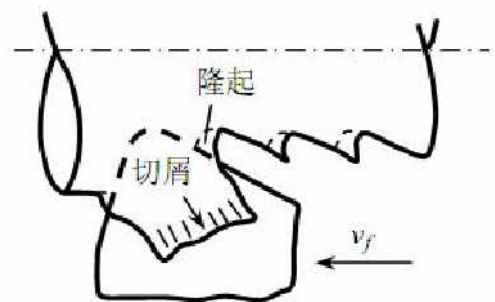
在切削刃两端没有来自侧面的束缚力，在切削刃两端的已加工表面及待加工表面处，工件材料被挤压产生隆起使表面粗糙度增大。



(a) 挤裂切屑

(b) 崩碎切屑

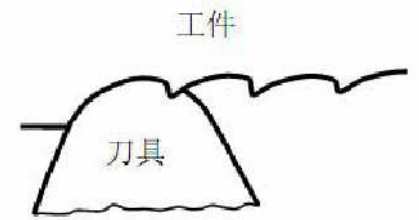
不连续型切屑的加工表面状态



刀刃两端工件材料的隆起

## 第三节 已加工表面粗糙度

### 刀具的边界磨损



刀具的边界磨损

#### 4 刀具的边界磨损

刀具磨损后有时会在副后面上产生沟槽形边界磨损。在已加工表面上形成锯齿状的突出部分，造成表面粗糙度增大。

#### 5 切削刃与工件相对位置变动

不稳定的因素容易在加工系统中诱发起自激振动，引发刀具、工件之间的位置变化，使已加工表面粗糙度增大。

#### 不稳定因素

机床主轴轴承回转精度、各滑动导轨面的形状误差等会影响运动机构运动的平稳性。材料的不均匀、切屑的不连续等因素会造成切削力的波动。

## 第三节 已加工表面粗糙度

### 二 影响表面粗糙度的因素

#### 1 刀具方面

刀尖圆弧半径  $r_{\epsilon}$   $\uparrow$  and 副偏角  $\kappa_r'$   $\downarrow$   $\rightarrow$  残留面积  $\downarrow$

#### 2 工件方面

调质处理  $\rightarrow$  提高硬度 and 降低塑性  $\rightarrow$  积屑瘤和鳞刺  $\downarrow$

#### 3 切削条件方面

- 速度  $\uparrow$   $\rightarrow$  积屑瘤和鳞刺  $\downarrow$
- 进给量  $\downarrow$   $\rightarrow$  残留面积  $\downarrow$  积屑瘤和鳞刺  $\downarrow$
- 切削液  $\uparrow$   $\rightarrow$  变形摩擦  $\downarrow$   $\rightarrow$  积屑瘤和鳞刺  $\downarrow$

# 第四节 加工硬化

## 一 加工硬化产生的原因

### 1. 加工硬化产生的原因

已加工表面的金属晶格发生扭曲，晶粒被拉长、破碎，阻碍了金属进一步变形而使金属强化，硬度显著提高。

### 2. 加工硬化的表示方法

1) 硬化程度N —已加工表面的显微硬度增加值，对原始显微硬度的百分比。

$$N = \frac{H - H_0}{H_0} \times 100\% \quad \begin{array}{l} H_0 \text{—基体的显微硬度值, } H_v; \\ H \text{—硬化层显微硬度值, } H_v。 \end{array}$$

也可以用加工前、后的硬度值之比表示，即

$$N = \frac{H}{H_0} \times 100\%$$

## 第四节 加工硬化

### 一 加工硬化产生的原因

#### 2) 硬化层深度 $\Delta h_d$

硬化层深度是指已加工表面至未硬化处的垂直距离  $\Delta h_d$ ，单位为  $\mu m$ 。

通常 $N$ 和  $\Delta h_d$ 与工件材料和加工方法有关，下表所示为常用方法加工钢件时的加工硬化情况。

钢件表面的硬化深度  $\Delta h_d$  和硬化程度  $N$

加工方法	平均硬化深度 $\Delta h_d/\mu m$	平均硬化程度 $N/\%$
高速车削	30~50	120~150
精车	20~60	140~180
钻孔	180~200	160~170
拉削	20~75	150~200
滚(插)齿	120~150	160~200
外圆磨削(未淬火)	30~60	140~160
研磨	3~7	110~117

# 第四节 加工硬化

## 二 影响加工硬化的因素

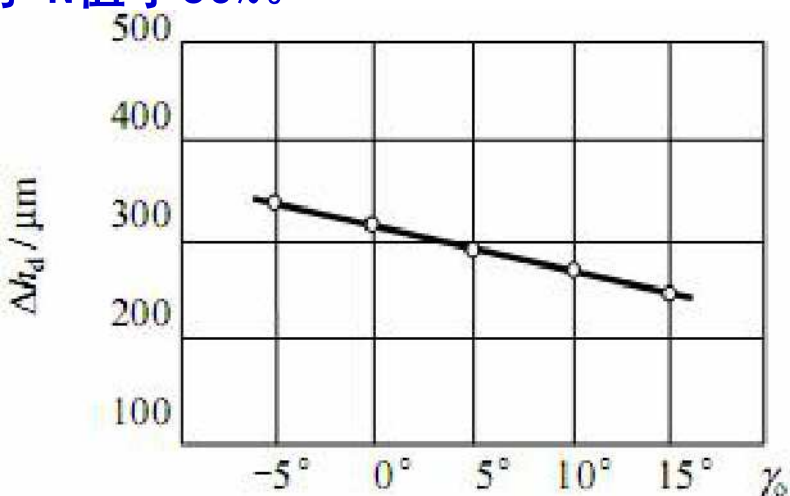
### 1) 工件材料

工件材料的硬度越低、塑性越大、熔点越高、强化就会越严重。就结构钢而言，含C量少、塑性变形大，硬化严重。例如：软钢  $N=140\% \sim 150\%$ ，硬钢  $N=120\% \sim 130\%$ 。高锰钢强化指数大，硬化程度可达 200%以上。有色金属熔点低，容易弱化，所以硬化情况比结构钢小很多，例如：铝比钢的  $N$ 值小75%，铜比钢的  $N$ 值小30%。

### 2) 刀具几何参数与磨损

(1) 前角  $\gamma_0$  越大，金属的塑性变形越小，硬化层深度  $\Delta h_d$  越小，如图所示。

$\gamma_0 - \Delta h_d$  的关系曲线



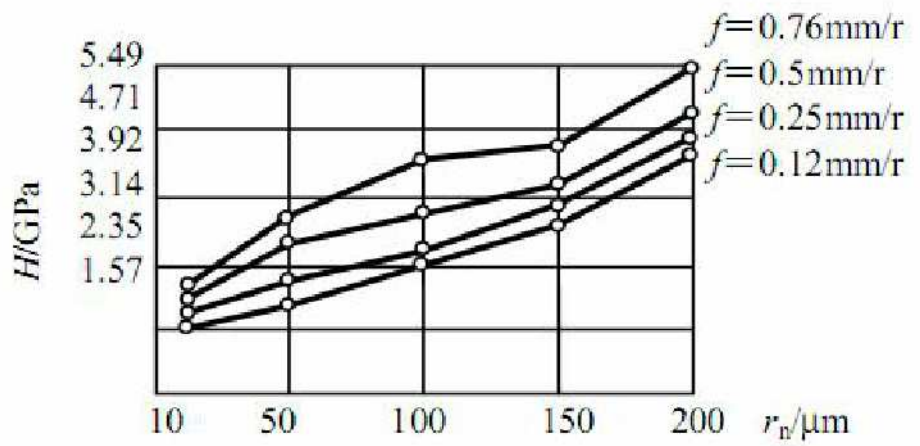
## 第四节 加工硬化

### 二 影响加工硬化的因素

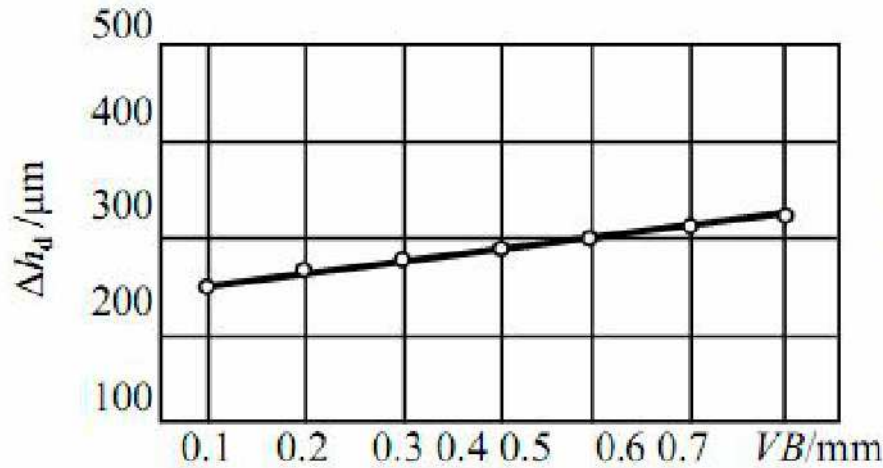
(2) 后角  $\alpha_0$  越大， $\Delta h_d$  越小。

(3) 切削刃钝圆半径  $r_n$  越大，挤压与摩擦越严重， $\Delta h_d$  越大，如右上图所示。

(4) 刀具磨损量  $VB$  越大，后刀面与已加工表面的摩擦越大， $\Delta h_d$  越大，如右图所示。



$H-r_n$  的关系曲线



$VB-\Delta h_d$  的关系曲线

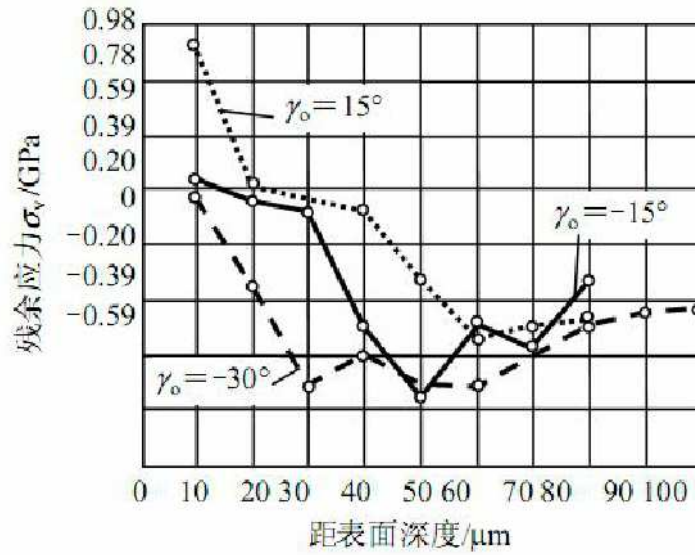
## 第四节 加工硬化

### 二 影响加工硬化的因素

#### 3) 切削用量与切削液

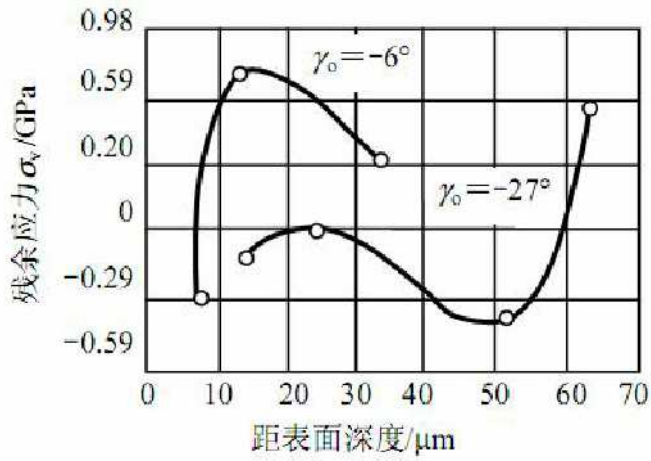
(1) 切削速度 $v_c$ 越高硬化程度越小，但是增加到一定值后，硬化深度又增大，如图 3.83 所示。这是由于切削速度上升使金属的变形下降，后刀面与工件的接触时间减少，加工硬化不能充分进行，同时切削速度上升引起切削温度升高，弱化作用加强，这些都使加工硬化下降；当切削温度超过相变温度后已加工表面组织发生相变，如果遇到急速冷却，则形成淬火组织，使硬度上升。

## 第五节 残余应力



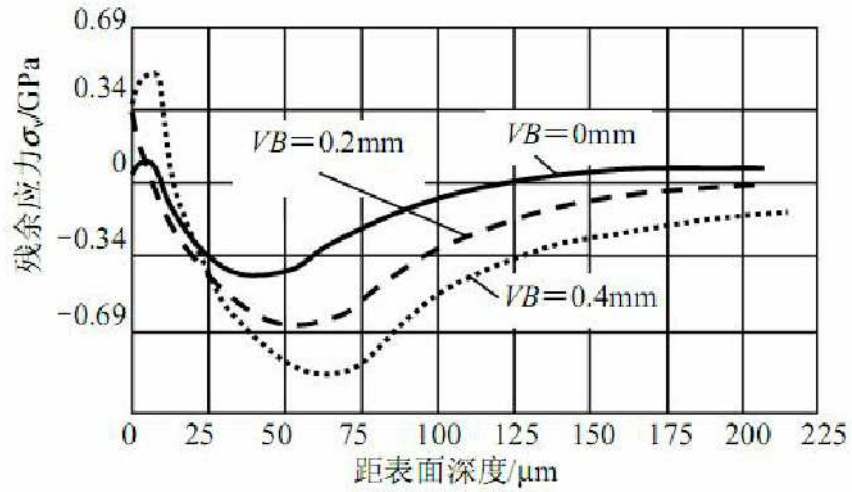
不同前角的刀具加工时工件表面的残余应力

## 第五节 残余应力



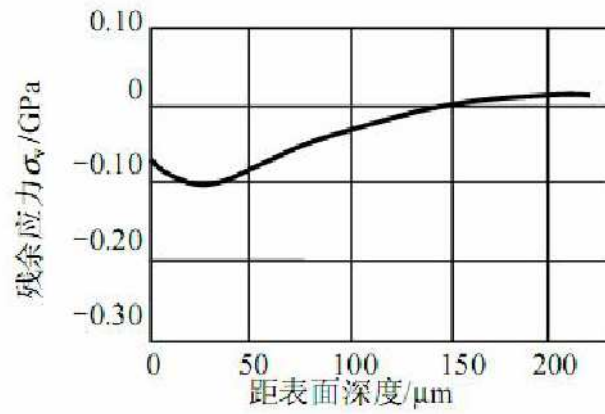
端铣时前角对残余应力的影响

## 第五节 残余应力



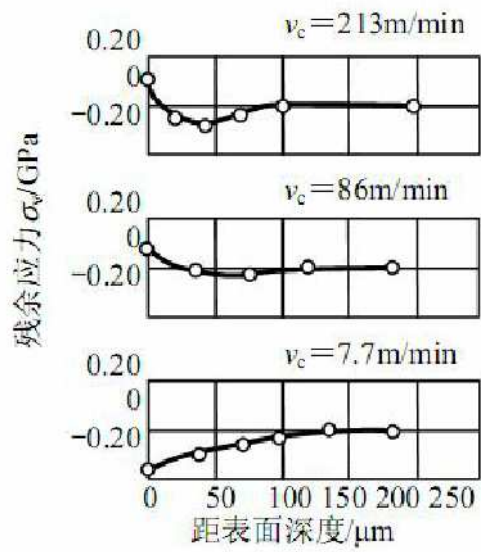
刀具磨损量对残余应力的影响

## 第五节 残余应力

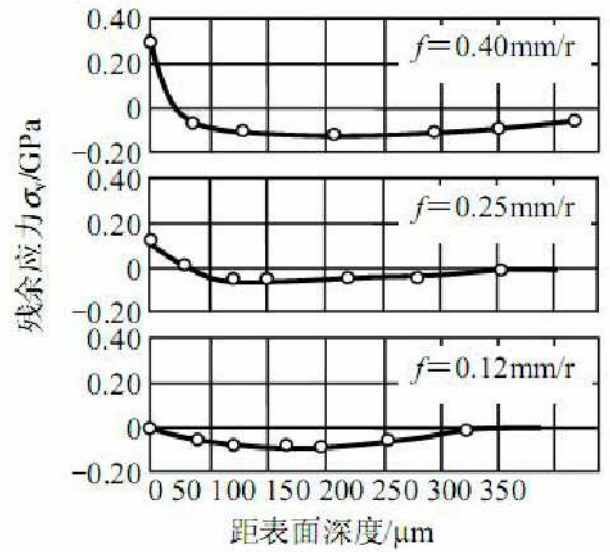


切削铸铁时加工表面的残余应力

## 第五节 残余应力

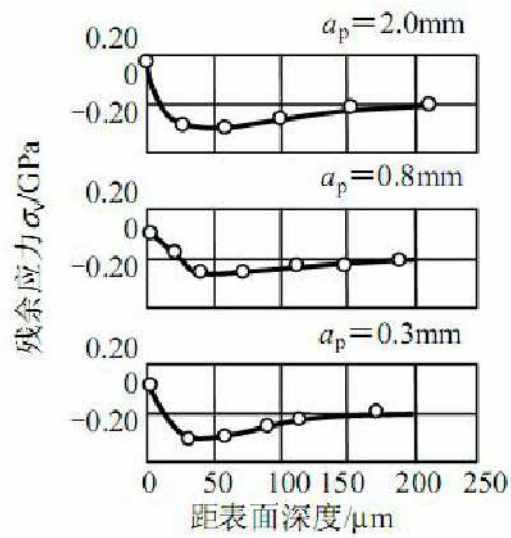


切削速度对残余应力的影响

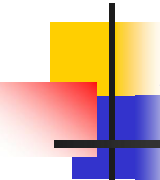


进给量对残余应力的影响

## 第五节 残余应力



背吃刀量对残余应力的影响



## 复习思考题

---

1. 试述已加工表面的形成过程。
2. 已加工表面质量用什么衡量？
3. 何谓理论粗糙度？如何减小其值？
4. 何谓积屑瘤？形成的基本条件是什么？有何特点？对切削过程有何影响？如何抑制？
5. 何谓鳞刺？它是如何形成的？如何抑制？
6. 何谓加工硬化？如何表示？如何减小？
7. 何谓残余应力？产生原因有哪些？如何控制？